

中国科技论文统计源核心期刊
中国科学引文数据库核心期刊
中文核心期刊要目总览核心期刊

ISSN 1001-9324

CN 42-1187/R

JOURNAL OF CLINICAL RADIOLOGY

临床放射学杂志

LINCHUANG FANGSHE XUE ZAZHI



ISSN 1001-9324



9 771001 932003

2014 • 6

第33卷(总第287期)

临床放射学杂志

LINCHUANG FANGSHE XUE ZAZHI

月刊 1982 年 3 月创刊

第 33 卷 第 6 期

(总第 287 期)

2014 年 6 月 20 日出版

主办

黄石市医学科技情报所
435000 湖北省黄石市杭州路 23-22 号

协办

上海市影像医学研究所

编辑

临床放射学杂志编辑委员会

出版

临床放射学杂志社
435000 湖北省黄石市杭州路 23-22 号
电话: (0714) 6222015
传真: (0714) 6260655
E-mail: lcfs@chinajournal.net.cn
网址: http://www.lcfsx.com

名誉主编

周康荣 王承缘 冯敢生

主编

孔祥泉

总编辑

袁德启

社长

徐新前

排版

临床放射学杂志社编辑部

印刷

武汉科源印刷设计有限公司

发行

国内: 湖北省黄石市邮政局
国外: 中国国际图书贸易总公司
(北京 399 信箱, 100044)
代号: M6815

订购

全国各地邮政局
邮发代号: 38-57

邮购

临床放射学杂志社发行部
435000 湖北省黄石市杭州路 23-22 号
电话: (0714) 6222015

定价

每期 12 元, 全年 144 元

中国标准连续出版物号

ISSN 1001-9324
CN 42-1187/R

广告经营许可证号

4202025000021

2014 年版权归黄石市
医学科技情报所有

本刊如有印装质量问题, 可向临床
放射学杂志社发行部调换

目 次

读片窗

- 左肺下叶占位病变——请分析病变性质 向守洪, 王光宪, 张冬 (811)

影像学论断

中枢神经放射学

- DTI 及 DTT 技术与 NIHSS 评分系统在急性脑梗死患者预后评价中的对比研究 张步环, 王宏, 贾文霄等 (812)
瘤体实质 ADC 值及 EDC 值在颅内淋巴瘤与 III ~ IV 级星形细胞瘤鉴别中的应用 陈兵, 李辉, 李春花等 (818)
颅内原始神经外胚层肿瘤的 MRI 表现及病理分析 刘香, 张嘉君, 赵茜茜等 (822)
3.0 T 磁共振 SWI 序列对脑淀粉样血管病的诊断价值 黄楠, 曹代荣, 张宇阳 (828)
颅内不典型血管母细胞瘤的 MRI 特征探讨 沈雯, 邱士军, 伍冬林等 (833)

头颈部放射学

- 原发眼眶脂肪脱出 CT、MRI 表现 王飞, 李建军, 王振常 (838)

乳腺成像

- 探讨乳腺血供不对称性增加在诊断同侧乳腺癌中的价值 张书宜, 董光, 耿海等 (841)
数字化乳腺 X 线导引下对触诊阴性的 X 线 BI-RADS 4 类病变活检的临床价值 马红, 徐凯, 路欣等 (845)
全数字化乳腺摄影及 MRI 对浆细胞性乳腺炎的诊断价值 程娟娟, 孔祥泉, 吴红英等 (849)

胸部放射学

- 两上肺机化性肺炎的 CT 和 PET-CT 表现及鉴别诊断 蒙秋华, 陈娇香, 张文浩等 (854)
早期周围型肺癌孤立性多结节聚合 HRCT 征的动态形态变化研究 李福, 白汉林, 刘士梅等 (860)
胸膜外孤立性纤维瘤的 CT、MRI 表现及其病理基础 刘衡, 王永涛, 柏永华等 (863)

腹部放射学

- T_2 WI、DWI 及梯度回波同、反相位成像检测乙肝肝硬化背景小肝癌的定量研究 张学琴, 陆健, 王霄英等 (868)

改良 MRI 灌注序列半定量分析对肝脏局灶性病变更定性的探讨	范宪森, 郑晓林, 杨沛钦等(872)
恶性腹膜间皮瘤的 CT 特点分析	宋慧, 郑国启, 陈跃峰等(876)
高位网膜囊上隐窝多层次螺旋 CT 多平面重组表现	曹和涛, 苏海, 陆健等(882)
腹部局灶型透明血管型 Castleman 病的 MSCT 表现	靳仓正, 叶宇俊, 严福华(886)
IgG4 相关性疾病累及肠系膜及腹膜后的 CT 诊断	陈望, 陈殿森, 王淑霞等(890)
急性阑尾炎各种螺旋 CT 征象的诊断价值	张淑慧, 曾庆玉, 尹晓明等(894)
卵巢甲状腺肿的 CT 表现	马菊香, 叶兆祥, 李绪斌等(898)
骨骼肌肉放射学	
128 层螺旋 CT 对下肢动脉硬化闭塞症不同 Fontaine 分期中的应用研究	周莹, 刘雨成, 李蕾等(902)
MSCT 重组同层显示胫神经及其分支的影像表现及解剖特点探讨	张彦, 刘胜全, 李晓楠等(909)
小儿放射学	
新生儿坏死性小肠结肠炎的腹片评分研究	邓博引, 何华云, 余国容等(912)
介入治疗	
放射性 ¹²⁵ I 粒子植入联合 TACE 治疗原发性肝癌合并门脉癌栓	杜可朴, 周志刚, 高剑波等(916)
技术探索	
不同体位及降低 kV 对甲状腺 CT 图像质量的影响	唐世昌, 吴晶涛, 孙继全等(920)
16 层螺旋 CT 双期脑血管成像三种减影方法的对比研究	毛俊, 陈海东, 王建明等(924)
实验研究	
三回波梯度回波序列与 ¹ H-MRS 在大鼠肝内脂肪含量测定中的应用	韩海伟, 韩成坤, 汪敬群等(929)
临床初探	
Stewart-Treves 综合征的 MRI 表现	岳云龙, 金延方, 沈文彬等(933)
退行性腰椎侧弯的 X 线平片分析	赵新燕, 郭江辉(938)
3D-DSA MIP 在颅内动脉瘤术后随访中应用初探	魏志华, 乘建华, 陈光忠(944)
综述	
多模态灌注成像技术在颞叶癫痫中的研究进展	孙祎繁, 陈自谦(947)
原发腹膜后少见肿瘤的影像鉴别诊断	刘玉林, 陈长春, 陈宪(950)
病例复习	
3 例成人先天性肝纤维化的 CT 表现及文献综述	文亮, 康绍磊, 陆琳等(953)
病例报告	
肝海绵状血管瘤不典型 MRI 表现一例	鲁果果, 高雪梅, 程敬亮等(858)
蝶窦内骨海绵状血管瘤一例	沈雪娇, 宋建勋, 刘潇等(880)
口腔含水 MRI 检查牙源性囊肿术后牙龈窦道形成一例	高萍, 张金平, 孔小权等(907)
脾脏结节病一例	瞿俊晨, 丁庆国, 蒲新平等(936)
颅内尤文肉瘤-原始神经外胚层肿瘤一例	陈世贵, 陈婵娟, 方锐等(942)
¹ H-MRS 诊断第四脑室转移瘤一例	罗永军, 周俊林, 白亮彩等(957)
脾炎性肌纤维母细胞瘤一例	韩国武, 龚蓉(958)
无脾综合症合并单心室 MRI 一例	马学升, 刘丽芬, 尚柳彤等(960)
信息窗	
“鄂赣闽黔皖湘豫浙”八省医学影像质控工作经验交流会邀请函	(908)
书讯、会议通知、简讯	(811)(821)(893)(956)

JOURNAL OF CLINICAL RADIOLOGY

A monthly journal devoted to clinical radiology and allied sciences, Established in March 1982, owned and published by publishing house of journal of clinical radiology

Sponsor

Huangshi Institute for Medical Scientific and Technical Information
23-22, Hangzhou Road, Huangshi,
Hubei 435000, China

Published-cooperate with

Shanghai Institute of Medical Imaging

Editing

Editorial Board of Journal of Clinical Radiology
23-22, Hangzhou Road, Huangshi,
Hubei 435000, China
Tel: (0714) 6222015
Fax: (0714) 6260655

Publishing

Publishing House of Journal of Clinical Radiology
23-22, Hangzhou Road, Huangshi,
Hubei 435000, China
Tel: (0714) 6222015
Fax: (0714) 6260655
E-mail: lcs@chinajournal.net.cn
<http://www.lcsx.com>

Honorary Editor-in-Chief

ZHOU Kangrong
WANG Chengyuan
FENG Gansheng

Editor-in-Chief

KONG Xiangquan

Chief Editor

YUAN Deqi

Proprietor

XU Xinqian

Typeset

Typesetting department, Publishing House of Journal of Clinical Radiology

Printing

Wuhan Keyuan Printing and Design Co. Ltd

Overseas Distributor

China International Book Trading Corporation
P. O. Box 399, Beijing, China
Code No. M6815

Mail-Order

Subscription Department,
Publishing House of Journal of Clinical Radiology
23-22, Hangzhou Road, Huangshi,
Hubei 435000, China
Tel: (0714) 6222015
E-mail: lcs@chinajournal.net.cn

Contents of Original Article

DTI and DTT Compared with NIHSS Scoring System in Evaluation of Prognosis In Acute Ischemic Cerebral Infarction

ZHANG Buhuan, WANG Hong, JIA Wenxiao, et al (812)

The Application of ADC and EDC Value in Differentiation Between Intracranial lymphoma and Grade III ~ IV Astrocytoma

CHEN Bing, LI Hui, LI Chunhua, et al (818)

MRI Features and Histopathological Analysis of Intracranial Primitive Neuroectodermal Tumors

LIU Xiang, ZHANG Jiajun, ZHAO Xixi, et al (822)

The Value of 3.0 T MR Susceptibility Weighted Imaging in Diagnosing Cerebral Amyloid Angiopathy

HUANG Nan, CAO Dairong, ZHANG Yuyang (828)

MR Features of Atypical Intracranial Hemangioblastoma

SHEN Wen, QIU Shijun, WU Donglin, et al (833)

CT,MR Findings of Primary Orbital fat Prolapse

WANG Fei, LI JianJun, WANG Zhenchang (838)

Value of Asymmetric Increase in Breast Vascularity (AIBV) for Diagnosing Ipsilateral Cancer

ZHANG Shuyi, DONG Guang, GENG Hai, et al (841)

Clinical Value of Minimally Invasive Biopsy Guided by Full Digital Mammography For Non Palpable BI-RADS4 Lesions

MA Hong, XU Kai, LU Xin, et al (845)

Value of Full-Field Digital Mammography and MRI in the Diagnosis of Plasma Cell Mastitis

CHENG Juanjuan, KONG Xiangquan, WU Hongying, et al (849)

The CT and PET-CT Findings and Differential Diagnosis of Organizing Pneumonia in Superior Lobe of Bilateral Lung

MENG Qiuhua, CHEN Jiaoxiang, ZHANG Wenhao, et al (854)

Study of Dynamic Morphological Changing of Solitary Polymerized Nodules in Early Stage of Peripheral Lung Cancer on HRCT Scanning

LI Fu, BAI Hanlin, LIU Shimei, et al (860)

Extra-Pleural Solitary Fibrous Tumor:CT and MRI Findings with Corresponding Pathological Basis

LIU Heng, WANG Yongtao, BO Yonghua, et al (863)

T₂ Weighted Imaging, Diffusion Weighted Imaging, Gradient Recalled Echo In Phase and Opposed phase for Quantitative Detection of Small Hepatocellular Carcinoma in Patients with Hepatitis B Induced Cirrhosis: A Comparison Study	(868)
ZHANG Xueqin, LU Jian, WANG Xiaoying, et al	
Qualitative Study of Liver Local Focus with Semi-Quantitative Analysis of Improved Perfusion MRI	(872)
FAN Xianmiao, ZHENG Xiaolin, YANG Peiqin, et al	
CT Findings of Malignant Peritoneal Mesothelioma	(876)
SONG Hui, ZHENG Guoqi, CHEN Yuefeng, et al	
Multi-Slices Spiral CT Multi-Planar Reconstruction Findings of High Superior Omental Recess	(882)
CAO Hetao, SU Hai, LU Jian, et al	
MSCT Features of the Localized Hyaline Vascular Variant Castleman's Disease in Abdomen	(886)
JIN Cangzheng, YE Yujun, YAN Fuhua	
CT features of IgG4-related Disease (IgG4-RD) involved Mesentery and Retroperitoneal	(890)
CHEN Wang, CHEN Diansen, WANG Shuxia, et al	
Diagnostic Value of Individual CT Signs in Appendicitis	(894)
ZHANG Shuhui, ZENG Qingyu, YIN Xiaoming, et al	
CT Features of Struma Ovarii	(898)
MA Juxiang, YE Zhaoxiang, LI Xubing, et al	
Application Value of 128 Slice Spiral CT Angiography in Peripheral Atherosclerosis Occlusion Disease of Lower Extremity According to Fontaine's Classification	(902)
ZHOU Ying, LIU Yucheng, LI Lei, et al	
Imaging and Anatomical Features of the Tibial Nerve and Its Branches at the Same Slice with MSCT MPR Techniques	(909)
ZHANG Yan, LIU Shengquan, LI Xiaonan, et al	
The Study of Radiographic Duke Abdominal Assessment Scale in Neonatal Necrotizing Enterocolitis	(912)
DENG Boyin, HE Huayun, YU Guorong, et al	
Radioactive Iodine 125 Seeds Implantation Combined with TACE for Treatment of Primary Hepatocellular Carcinoma with Portal vein Tumor Thrombus	(916)
DU Kepu, ZHOU Zhigang, GAO Jianbo, et al	
Technique Improvement of Thyroid CT Scan with Different Position and Low kV	(920)
TANG Shichang, WU Jingtao, SUN Jiquan, et al	
16 – Slice Spiral CT Dual – Phase Cerebral Angiography: Comparison Study of Three Bone Removal Software Programs	(924)
MAO Jun, CHEN Haidong, WANG Jianming, et al	
The Application of Triple Echo Gradient Echo Sequence and ¹H-MRS in Detection and Measurement Steatosis in Nonalcoholic Fatty Liver Disease Rat Model	(929)
HAN Haiwei, HAN Chengkun, WANG Jingqun, et al	
Imaging Findings of Stewart-Treves Syndrome	(933)
YUE Yunlong, JIN Yanfang, SHEN Wenbin, et al	
The Imaging Features of Lumbar Degenerative De Novo Scoliosis	(938)
ZHAO Xinyan, GUO Jianghui	
Study of 3D-DSA Maximum Intensity Projection Reconstruction Technique for Follow-Up of Intracranial Aneurysms	(944)
WEI Zhihua, LUAN Jianhua, CHEN Guangzhong	
CT Features of Adult Congenital Hepatic Fibrosis:3 Cases Report and Literature Review	(953)
WEN Liang, KANG Shaolei, LU Lin, et al	

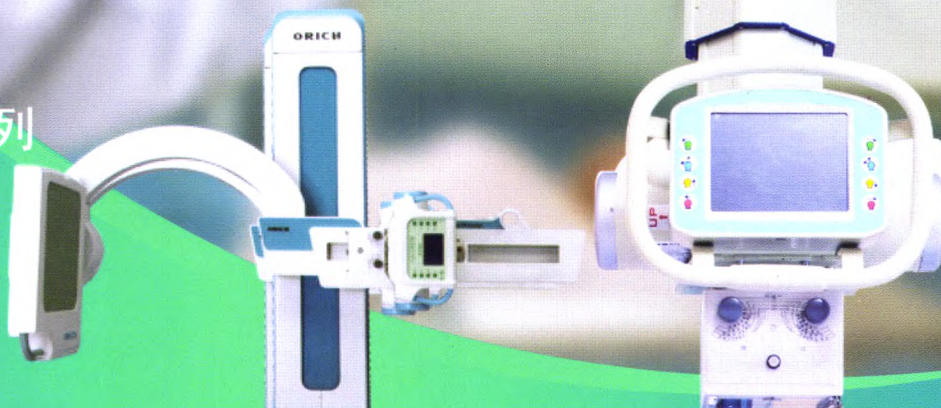
为了生命的美好

ORICH, All Reach.

数字平板DR系列

卓越DR数字摄影系统
鹰眼、北斗、神鹰

- 影像质量完美清晰
- 射线输出高效稳定
- 操作功能专业便捷
- 控制系统智能先进



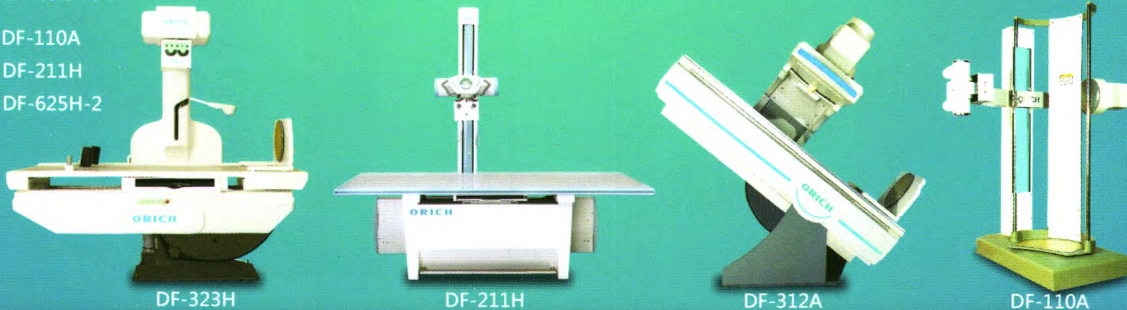
北斗数字平板DR

鹰眼数字平板DR

DF系列

数字胃肠诊断系统

DF-312A、DF-110A
DF-323H、DF-211H
DF-625H-1、DF-625H-2



- 遥控透视诊断机 满足大批量体检
- 双床双管诊断机 优性价比配置
- 高配专业摄影机 成像更锐利清晰
- 数字胃肠诊断机 超高频低剂量

流动医院系列

无所不至 全程无忧

- 个性化车载量身定做
- 高品质车辆性能卓越
- 专业化防震防护设计
- 全功能配置灵活稳定



流动医院体检车



无动力女子综合检查车

ORICH 邦盛医疗装备(天津)股份有限公司

地址：天津逸仙科学工业园翠鸣道 16 号 / 电话：022-22985502 / 传真：022-22985581

网址：www.orich.com.cn / 客服热线：400-608-1996 / 邮编：301726